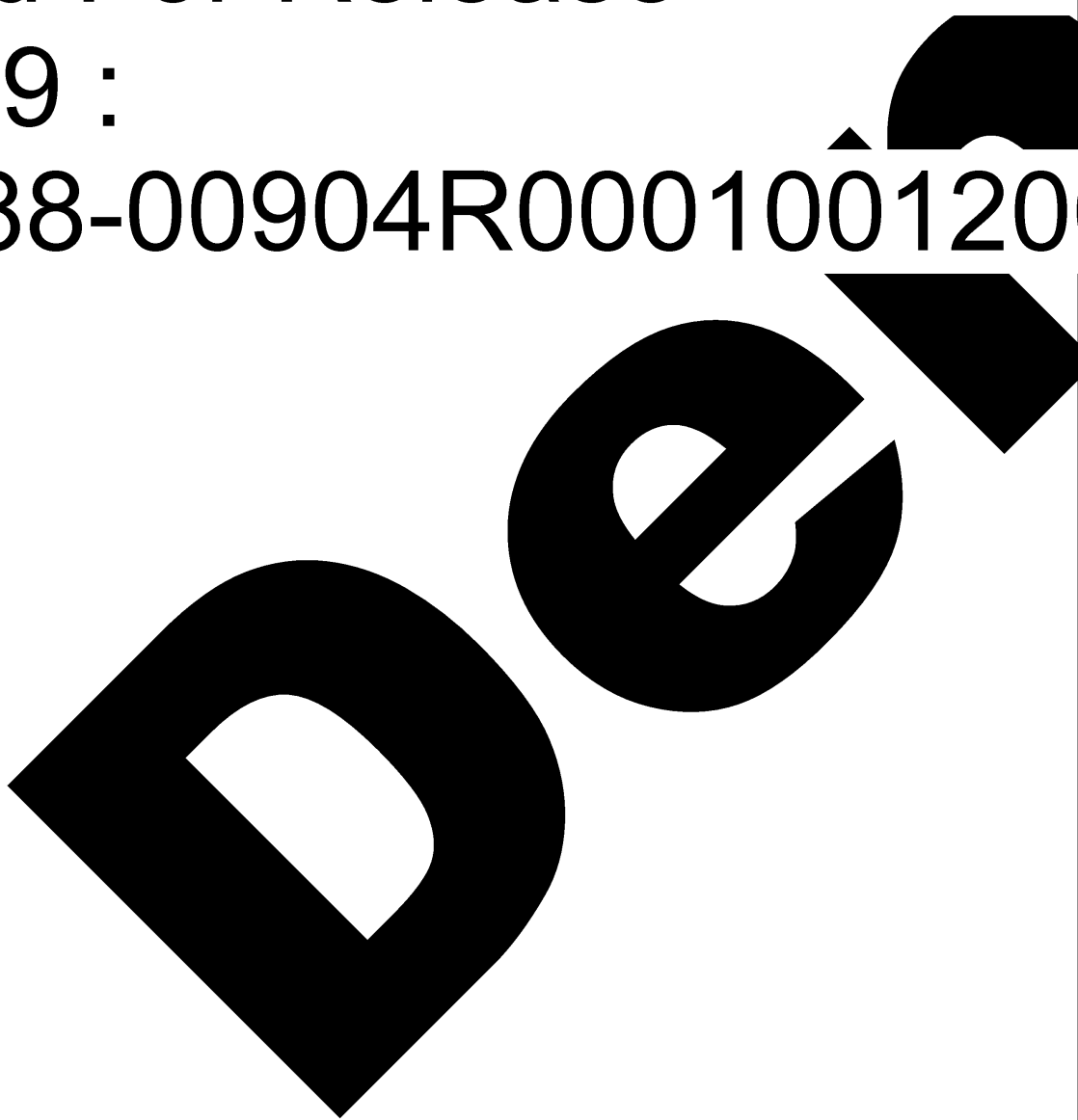


Approved For Release STAT
2009/08/19 :
CIA-RDP88-00904R000100120



Approved For Release
2009/08/19 :
CIA-RDP88-00904R000100120





Вторая Международная Конференция
Организации Объединенных Наций
по применению атомной энергии
в мирных целях

A/CONF/15/P/ 2198
USSR
ORIGINAL: RUSSIAN

Не подлежит оглашению до официального сообщения на Конференции

ИССЛЕДОВАНИЕ МЕХАНИЗМА ЗАЩИТЫ ПОВЕРХНОСТЕЙ
ТРЕНИЯ ОТ КОРРОЗИОННОГО ИЗНОСА

Д.С.Заславский, Г.И.Шор, Р.Н.Шеерова

Детали цилиндро-поршневой группы и вкладыши подшипников двигателей внутреннего сгорания подвергаются коррозионному износу под действием продуктов сгорания топлива и окисления смазочного масла. Защита от коррозионного износа, помимо прочих мероприятий, обеспечивается введением в масла соответствующих присадок, механизм действия которых, однако, изучен недостаточно.

Применение метода радиоактивных индикаторов позволило нам показать, что в основе механизма действия антикоррозионных присадок лежит образование защитных пленок на поверхностях металлов, а также позволило установить взаимосвязь процессов образования пленок и торможения коррозии и влияние на эти процессы температуры масла, времени взаимодействия присадки с металлом, характера металла, состава и концентрации присадки (1,2,3).

Дальнейшие исследования проводились с помощью разработанной нами ранее методики: в масляную баню устанавливались пробирки с исследуемым маслом; в пробирки периодически с помощью кривошипно-шатунного механизма погружались диски из металла, коррозия которого изучалась. Для изучения образования пленки на металле применялись присадки, меченные радиоактивным изотопом основного компонента (S^{35} , P^{32} , C^{14}), а для изучения коррозии – диски из металла (свинец, меченный Sb^{124} (1)). Количество образовавшейся пленки (в $\text{мг}/\text{см}^2$), определялось с помощью торцевого счетчика путем измерения радиоактивности на одной из торцевых поверхностей диска, а величина коррозии (в мг) прокорродированного металла – измерением радиоактивности масла.

Изучали влияние высокомолекулярных органических кислот на

2609
25 YEAR RE-REVIEW

-2-

процессы образования и разрушения защитной пленки, создаваемой антикоррозионной присадкой на поверхности свинцового образца, и связанную с этими процессами коррозию свинца. В остаточное моторное масло из Эмбенских нефей (МТ-16), содержащее 3% дисульфидалкилфенолята бария, меченного S^{35} , добавлялись различные количества (от 0,1 до 7,0%) олеиновой, пальмитиновой или нафтеновых кислот. Результаты исследования влияния нафтеновых кислот при температуре масла 140° показаны для примера на рис. 1а, б.

Из наличия минимумов на кривых (рис. 1а), соответствующих одному и тому же содержанию кислот в масле, следует, что малые количества органических кислот улучшают антикоррозионную эффективность пленки, по-видимому, за счет полирующего действия кислот на поверхность металла, а большие количества кислот, действуя разрушающе на антикоррозионную присадку, несмотря на рост количества пленки и времени ее существования, увеличивают коррозию свинца. Это, вероятно, связано с имеющим место при разрушении присадки переходом серы в более реакционно-способное состояние и интенсивным взаимодействием ее с поверхностью свинца с образованием большего количества пленки, не обладающей, однако, защитными свойствами.

Эффект разрушения присадки кислыми продуктами виден из результатов опыта (рис. 1а) на масле МТ-16 с 3% дисульфидалкилфенолята бария (меченного как по S^{35} , так и по C^{14}) и с 6% нафтеновых кислот при температуре масла 140° . Рост количества пленки, регистрируемый по излучениям S^{35} и C^{14} , в течение первых 20 мин. опыта свидетельствует об образовании пленки молекулами присадки (вероятно, с образованием комплексного соединения). Совпадение момента образования максимального количества пленки, регистрируемой по излучению S^{35} , с моментом полного исчезновения пленки, регистрируемой по излучению C^{14} , и с моментом увеличения скорости коррозии позволяет утверждать, что этот момент времени соответствует полному разрушению присадки в объеме масла. Последующее уменьшение количества серы на поверхности связано с коррозионным разрушением металла.

Результаты изложенных выше исследований приводят к выводу, что к моторным маслам в качестве антикоррозионных присадок, наиболее эффективно снижающих коррозию вкладышей подшипников, целесообразно из полярных серусодержащих соединений применять такие, в молекулах

2609-24

-3-

которых сера обладает наиболее прочными связями^{x)}. Сказанное хорошо согласуется с результатами исследований антикоррозионных свойств ряда индивидуальных сернистых соединений, вводившихся в масло МТ-16 с таким расчетом, чтобы содержание серы в масле было одинаковым (рис.2а, б). В опытах с дидецилсульфидом, в молекулах которого сера обладает более прочной связью, чем в молекулах дидецилдисульфида (4), наблюдалась (рис.2а) значительно большая длительность существования защитной пленки на поверхности свинца и соответственно значительно меньшая коррозия, чем в опытах с дидецилдисульфидом. Ди-десилсульфид термически устойчив (рис.2, б) и не теряет антикоррозионной эффективности с ростом температуры масла, тогда как и дидецилдисульфид и децилмеркаптан неустойчивы и с ростом температуры даже увеличивают коррозионную агрессивность масла. Следовательно, оценка антикоррозионной эффективности присадок только при одной какой-либо температуре является недостаточной. Это положение было подтверждено также сравнением антикоррозионной эффективности при разных температурах дифенилсульфида и дифенилдисульфида, диоктадецилсульфида и диоктадецилдисульфида, динонилсульфида и динонилдисульфида.

Во всех случаях органические сульфиды, в молекулах которых сера обладала более прочными связями, чем в молекулах дисульфидов (4), оказались более эффективными антикоррозионными присадками.

Изучалось влияние солей высокомолекулярных органических кислот на процесс образования и разрушения защитной пленки на поверхности свинца и влияние тех же продуктов на коррозию свинца. В масло МТ-16 с 3% дисульфидалкилфенолята бария, меченного S^{35} , добавлялись различные количества (от 0,05 до 12%) нафтенатов кобальта, свинца и меди. На рис.1, с приведены для примера результаты опытов с нафтенатом кобальта. Сравнение данных, приведенных на рис.1, б и 1, с, позволяет считать, что в отличие от нафтеновых кислот их соли, введенные в больших количествах в масло с присадкой, улучшают защитную эффективность пленки. Однако из-за малой длительности существования такой эффективной пленки вследствие избыточной кислотности нафтенатов введение последних в масло с присадкой приводит в конечном счете к росту коррозии по сравнению с коррозией на том же

^{x)} Следует отметить, что эффективные противозадирные присадки должны легко отщеплять серу.

2609-24

-4-

масле с присадкой, но без нафтенатов (рис.3а).

Введение в то же масло с присадкой нафтеновых кислот и нафтенатов в количествах, обеспечивающих во всех случаях одинаковую начальную кислотность масла (6,5 мг КОН), показало (рис.3а), что по способности увеличивать коррозию свинца катионы солей располагаются обратно той последовательности, в которой они находятся в нормальном ряду напряжений. Это, по нашему мнению, указывает на наличие электрохимических процессов, происходящих в масле при введении рассматриваемых солей. Можно предположить, что при введении в масло с анткоррозионной присадкой органической соли, которая не давала бы при этом избыточной кислотности и катион которой стоял бы в ряду напряжений выше кобальта, эффективность действия присадки должна увеличиться. Опыты с введением различных количеств (от 1 до 12%) сульфоната кальция (рис.1, а) подтвердили это предположение: с введением в масло с 3% дисульфидалкилфенолята бария увеличивающихся количеств сульфоната кальция наблюдается значительный рост длительности существования пленки на поверхности свинца при незначительном увеличении ее количества и резком уменьшении коррозии. Опытами с введением разных количеств сульфоната кальция в масло МТ-16 без анткоррозионной присадки было установлено (рис.3б) эффективное торможение коррозии свинца этой солью и тем самым показано, что сульфонат кальция не только улучшает анткоррозионное действие серусодержащей присадки, но и сам является анткоррозионным продуктом.

Для изучения механизма анткоррозионного действия сульфоната кальция обычный свинцовый образец, меченный Sb^{124} , был включен в цепь 200 в электрической батареи в качестве анода. Катодом служила угольная пластинка. Расстояние между электродами, помещавшимися в пробирке с маслом МТ-16, составляло 1 мм. Через масло, нагретое до 140° , продувался воздух.

Результаты опытов показали (рис.3с) значительное влияние электрохимических процессов на коррозионное разрушение свинца под воздействием продуктов окисления масла. Заметное снижение радиоактивности масла при введении в него сульфоната кальция в период интенсивной коррозии свинца свидетельствует о связи механизма анткоррозионного действия этой соли с электрохимическими процессами.

Рассмотренные выше процессы образования и разрушения защитных пленок, создаваемых на поверхности свинца сероорганическими соеди-

260-24
260-24

-5-

нениями, характерны и для фосфорорганических антикоррозионных присадок. Последние также образуют на поверхности свинца защитную пленку, состоящую из молекул присадки (рис.4а). Это видно из того, что в течение первых 20 час. аналогичен ход кривых 1 и 2, показывающих кинетику образования защитной пленки введенным в масло МТ-16 трифенилфосфитом, меченный как по P^{32} , так и по S^{34} . На это же указывает соответствие количеств фосфора и углерода на поверхности свинца их соотношению в молекуле присадки. Особенностью действия фосфорорганических присадок является длительное сохранение фосфора на поверхности свинца после разрушения присадки. При этом, однако, не наблюдается защиты свинца от коррозии. Это было нами установлено в опытах с различными фосфорорганическими антикоррозионными присадками при разных температурах и даже при введении в масло с присадкой органических кислот.

2600-24

Образование защитных пленок именно молекулами антикоррозионных присадок было нами установлено также и в опытах с органическим соединением, одновременно содержащим и серу и фосфор (рис.4в). В масло МТ-16 был введен трибутилтритиофосфит, меченный как по S^{35} , так и по P^{32} . В течение первых 6 час. имеет место образование защитной пленки на поверхности свинца молекулами присадки, что следует из аналогичного хода кривых, построенных по данным измерения интенсивности излучений S^{35} и P^{32} . Это видно также из соответствия количеств серы и фосфора на поверхности свинца их соотношению в молекуле трибутилтритиофосфита. При этом обеспечивается наиболее эффективное замедление коррозии свинца. Начинаяющееся по истечении 6 час. разрушение присадки заканчивается (минимум на кривой 1), по-видимому, полным отщеплением фосфора и образованием органических серусодержащих соединений, активно вступающих во взаимодействие со свинцом. Максимум на кривой 1 при $T = 50$ час. соответствует моменту полного разрушения указанных соединений кислыми продуктами, накопившимися в масле. Уменьшение количества фосфора на поверхности свинца так же, как и последующее уменьшение количества серы, связано с коррозионным разрушением поверхности.^{x)}

Процессы образования и разрушения защитных пленок антикоррозионными присадками и связанные с ними процессы коррозии характерны

x) Изложенные выше исследования проводились при консультациях проф. С.Э.Крейн.

-6-

не только для свинца, но и для других металлов и сплавов, в частности для стали и чугуна (1,2). Однако для деталей цилиндро-поршневой группы двигателей, подвергающихся в основном воздействию коррозионно-агрессивных продуктов сгорания топлива (5), такой механизм защиты не является единственным (6, 7, 8).

Исследование механизма защиты поверхностей трения чугунных деталей от коррозионного износа с помощью присадок к моторным маслам проводилось на разработанной нами экспериментальной установке, имитировавшей условия работы цилиндро-поршневой группы автомобильного двигателя при пониженной рабочей температуре. Установка (рис.5а) представляла собой машину трения, в ванне которой помещалось чугунное кольцо, вырезанное из гильзы цилиндра автомобильного двигателя ГАЗ-51. По торцовой поверхности кольца скользили два чугунных сухаря (вырезанные из поршневого кольца того же двигателя) активированные облучением нейтронами с получением в составе металла радиоактивного изотопа ^{59}Fe .

Установка работала при скорости скольжения 5,75 м/сек, удельной нагрузке 20 кг/см² и температуре масла 40°. Из баллона через капилляр, испаритель и сопло к поверхностям трения подавались перегретые до 400° пары растворов серной и уксусной кислот, с одинаковым кислотным числом 8,1 мг KOH, в количестве 60 г/час, из которых 10 г/час конденсировались на поверхностях трения. В ванну машины заливалось 350 см³ масла. Изменение радиоактивности масла в процессе износа сухарей автоматически регистрировалось одновременно с регистрацией температуры масла и коэффициента трения. После опытов определяли: скорость износа сухарей, кислотность масла и конденсата и наличие радиоактивности у последних.

Характерной особенностью опытов на моторных маслах без присадок, особенно на маслах из сернистых нефтей (AC -9,5, AC -5), является (рис.5б) постепенное торможение коррозионного износа при подаче паров серной кислоты (кривая 2), чего не наблюдается в опытах с уксусной кислотой (кривая 1). Это, по-видимому, связано с химическим взаимодействием серной кислоты с компонентами масла, при котором образуются соединения (вероятно, сульфокислоты), способные создавать на поверхностях металлов защитные противоизносные пленки. В опытах с высокоочищенным трансформаторным маслом, как и следовало ожидать, эффекта торможения износа не наблюдалось, и износ при подаче паров серной кислоты был примерно вдвое больше, чем при пода-

че паров уксусной кислоты (6), т.е. отсутствовало взаимодействие серной кислоты с маслом. Подтверждением защитного действия высокомолекулярных кислот как образующихся в масле под действием серной кислоты, так и вводимых в масло (рис.5, в, кривые 2,3,4,5) является не резкое (кривая I), а постепенное увеличение скорости износа при подаче паров уксусной кислоты, а также снижение коэффициента трения и падение кислотного числа масла (вследствие расхода высокомолекулярных кислот на взаимодействие с металлами пары трения), зарегистрированные в этих опытах.

В отличие от защитных пленок, создаваемых на поверхностях трения высокомолекулярными кислотами, прочные пленки, образуемые серусодержащими и фосфорсодержащими антикоррозионными присадками на чугуне, снижая скорость износа, не обладают антифрикционными свойствами (6). Прочность этих пленок была нами установлена при проведении опытов с использованием масла с присадкой, меченной S^{35} : образовавшаяся за 10 час. на поверхностях трения пленка, зарегистрированная по излучению S^{35} , была истерта при дальнейшей работе машины на масле без присадки лишь через 25 час.

Наряду с защитой поверхностей трения от коррозионного износа с помощью присадок, образующих пленки на металле, эффективная защита их достигается также, как показали наши исследования, применением растворимых в масле продуктов, способных нейтрализовать своими катионами агрессивные кислоты. Исследования проводились с подачей паров уксусной и серной кислот на моторных маслах с дисульфидалкилфенолятами натрия, кальция, бария, лития и калия^{x)}. Результаты этих опытов на масле АС - 9,5 с подачей паров уксусной кислоты приведены в табл. 1.

Так как соли агрессивных кислот плохо растворимы в минеральных маслах, радиоактивность конденсата следует использовать как показатель коррозионного износа, а появление радиоактивности масла как снижение кислотности конденсата (исходная кислотность 8,1 мг КОН), рост же кислотности масла (исходная кислотность масла без присадки 0,04 мг КОН, а исходное масло с присадками давало щелочную реакцию) как свидетельство нейтрализующего действия присадок.

Учитывая сказанное, можно утверждать, что присадки с различными катионами обеспечили эффективное снижение коррозионного износа

^{x)} Указанные присадки были получены от В.Н.Монастырского.

Таблица 1
Влияние катиона и количества нейтрализующей присадки на
коррозионный износ поверхности трения

Испытуемый продукт	Длительность эффектной нейтрализации, мин.	Скорость износа, ИМП/мин/час	Радиоактивность после опыта		Кислотное число после опыта, МГ KOH	Нормальный электротенциал катионов присадки, вольт	Растворимость юксанокислой соли, г/100 г H ₂ O
			ИМП /МИН масла	конденсата			
Масло AC-9,5 без присадки	0	18000	0	9026	0,06	6,0	-
То же +3% дисульфидалкилфеноата							
Калий	50	6000	136	12680	0,27	-2,92	129,5
Литий	"	6600	104	3644	0,34	-3,01	68,6
Саррий	50	7050	206	9438	0,22	-2,92	
Кальций	50	7350	48	9382	0,15	-2,84	37,8
Натрий	50	7800	272	4768	0,41	-2,71	75,8
"	20	8700	50	13925	0,14	"	65,3
"	"	80	5200	416	0,53	"	"
"	"	120	4900	696	2448	0,66	"

-9-

в результате нейтрализующего действия. Соответствие между скоростями износа и положением катионов присадок в ряду напряжений (исключение составляет калий, уксуснокислая соль которого имеет аномально высокую растворимость в воде) показывает, что в основе механизма антакоррозионного действия нейтрализующих присадок лежат электрохимические процессы. Самые эффективные присадки должны содержать катионы, обладающие наибольшим отрицательным нормальным электродным потенциалом, а также должны давать при нейтрализации агрессивных кислот соли, которые хорошо растворимы в воде и не создают образивных осадков. Наиболее четко влияние растворимости указанных солей видно из результатов опытов на разных маслах с рассматриваемыми присадками при подаче паров серной кислоты (табл.2).

Особенностью процесса изнашивания при работе нейтрализующей присадки (рис.5с) является изменение скорости износа в процессе подачи паров кислоты. По-видимому, сначала происходит эффективная нейтрализация подаваемой кислоты присадкой в объеме масла с одновременным переходом катионов присадки в накапливающийся конденсат. Точка перегиба кривой износа соответствует, очевидно, моменту полного перехода катионов присадки в конденсат с образованием раствора щелочи. Последняя продолжает нейтрализовать поступающую кислоту и тем самым, хотя и менее эффективно, снижает коррозионный износ до тех пор, пока вся щелочь не будет израсходована. Чем больше присадки содержится в масле, тем больше времени требуется для перехода катионов в конденсат, тем дольше обеспечивается эффективная нейтрализация и тем меньше скорость коррозионного износа после полного перехода катионов присадки в конденсат (табл.1, рис.5с, кривые 2,3,4 и 5). Все это подтверждается проверенным нами изменением зольности масла с присадкой в процессе опыта: к моменту времени, соответствующему перегибу кривой, наблюдается резкое уменьшение содержания присадки в масле. В опытах с подачей паров серной кислоты нейтрализующее действие присадок проявлялось несколько менее четко, чем при подаче уксусной кислоты, но при этом наблюдалось большее торможение износа (рис. 5, с, кривая 6).

По-видимому, это связано с отмечавшимся выше эффектом взаимодействия серной кислоты с компонентами масел с образованием сульфокислот, обеспечивающих дополнительную защиту поверхностей трения.

Проведенные исследования позволяют заключить, что моделирова-

2609-24

-10-

Таблица 2

Влияние растворимости сернокислых солей на износ
поверхностей трения

Присадка	Скорость износа, имп/мин час			Раствори- мость сер- нокислой соли, г/100г Н ₂ O	Нормаль- ный элек- тродный по- тенциал катиона присадки, вольт
	трансфор- маторное масло	масло АС-5	масло АС-9,5		
Дисульфидалкил- фенолят натрия	I 050	400	875	32	-2,71
" лития	I 600	330	365	24	-3,01
" кальция	2 I75	I 100	I 400	0,2	-2,84
" бария	3 000	I 050	I 400	~0	-2,92

ние условий работы основных узлов трения двигателей внутреннего сгорания с применением радиоактивных индикаторов позволило не только установить, что механизм защиты поверхностей трения от коррозионного износа с помощью присадок к маслам может включать: 1) образование защитных пленок на поверхностях трения; 2) образование защитных антифрикционных пленок; 3) нейтрализацию коррозийно-агрессивных кислот, но и показать влияние состава и концентрации присадок на эффективность их анткоррозионного действия.

Л и т е р а т у р а

1. Заславский Ю.С., Крейн С.Э., Шеерова Р.Н., Шор Г.И. Исследование механизма действия анткоррозионных присадок к маслам методом меченых атомов. Химия и технология топлива, 1956, 4, 37-49
2. Заславский Ю.С. Исследование износных свойств масел и топлив с помощью радиоактивных изотопов. Сессия Академии Наук СССР по мирному использованию атомной энергии 1-5 июля 1955г. Заседания Отделения технических наук, II5-I39. Изд-во АН СССР, Москва, 1956
3. D. Godfrey. Review of recent russian research on chemisorbed lubricant films. Preprint №57 AM4A-4 of the American society of lubrication engineers. Chicago, 1957

4. Гурьянова Е.Н., Васильева В.Н., Кузина Л.С., Обмен серы в полисульфидах и некоторых ускорителях вулканизации. Сессия Академии Наук СССР по мирному использованию атомной энергии 1-5 июля 1955 г. Заседания Отделения химических наук, 270-300. Изд-во АН СССР, Москва, 1955
5. H.H. Zuidema. The performance of lubricating oils. Book Division Reinold Publishing Corporation, 1952
6. Заславский Ю.С., Шор Г.И. Радиохимическое исследование механизма действия присадок, снижающих коррозийный износ цилиндровой группы двигателя. Химия и технология топлива и масел. 1957, 9, 41-49
7. A. Dyson, L.Y. Richards, K.R. Williams. Diesel engine lubrications: Their selection and utilization with particular reference to oil alkalinity. Scient. Lubricat., 1957, 9 (6), 34-36
8. R. Tourret, R.W. Bale. Influence of acidity of the lubricating oil on the wear and deposits obtained in the caterpillar Y.A. Oil-Test Engine. Scient. Lubricat., Special "Conference on Lubrication and Wear issue", 1957, 110-112

2609-24

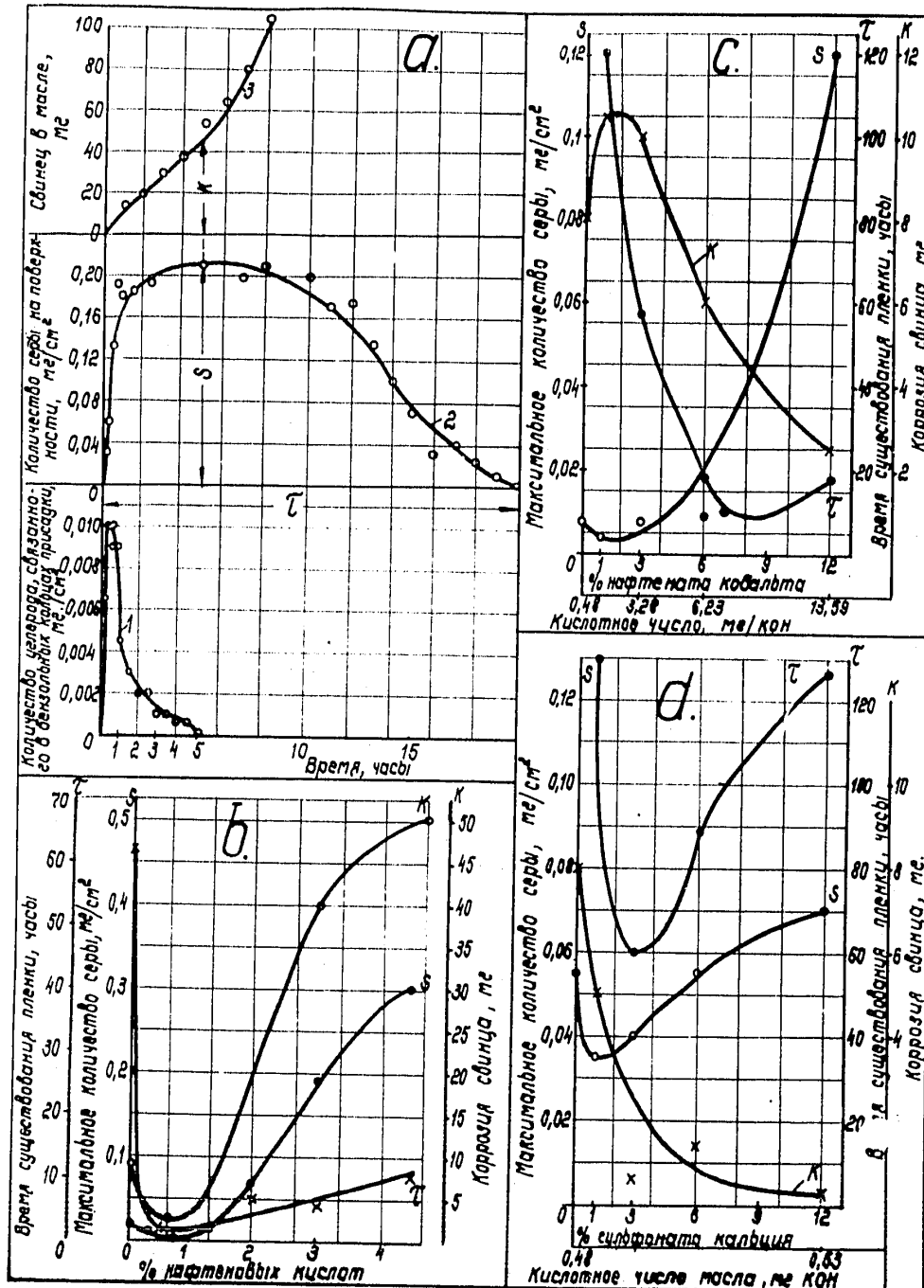


Рис.1. а-образование защитных пленок на свинце дисульфидом килфено-лятом бария, меченный как по S^{35} , так и по C^{14} , и коррозия свинца. Масло МТ-16 + 3% присадки + 6% нафтеновых кислот. 1-пленка, зарегистрированная по излучению C^{14} ; 2- пленка, зарегистрированная по излучению S^{35} ; 3-коррозия свинца; б-влияние нафтеновых кислот на защитную эффективность пленок, образуемых дисульфидом килфено-лятом бария на свинце. S - максимальное количество пленки на поверхности свинца; τ - время существования пленки; K - коррозия свинца при максимальном количестве пленки на его поверхности; С - влияние нафтената кобальта на защитную эффективность пленок, образуемых дисульфидом килфено-лятом бария на свинце; д.-влияние сульфоната кальция на защитную эффективность пленок, образуемых дисульфидом килфено-лятом бария на свинце

2609-24

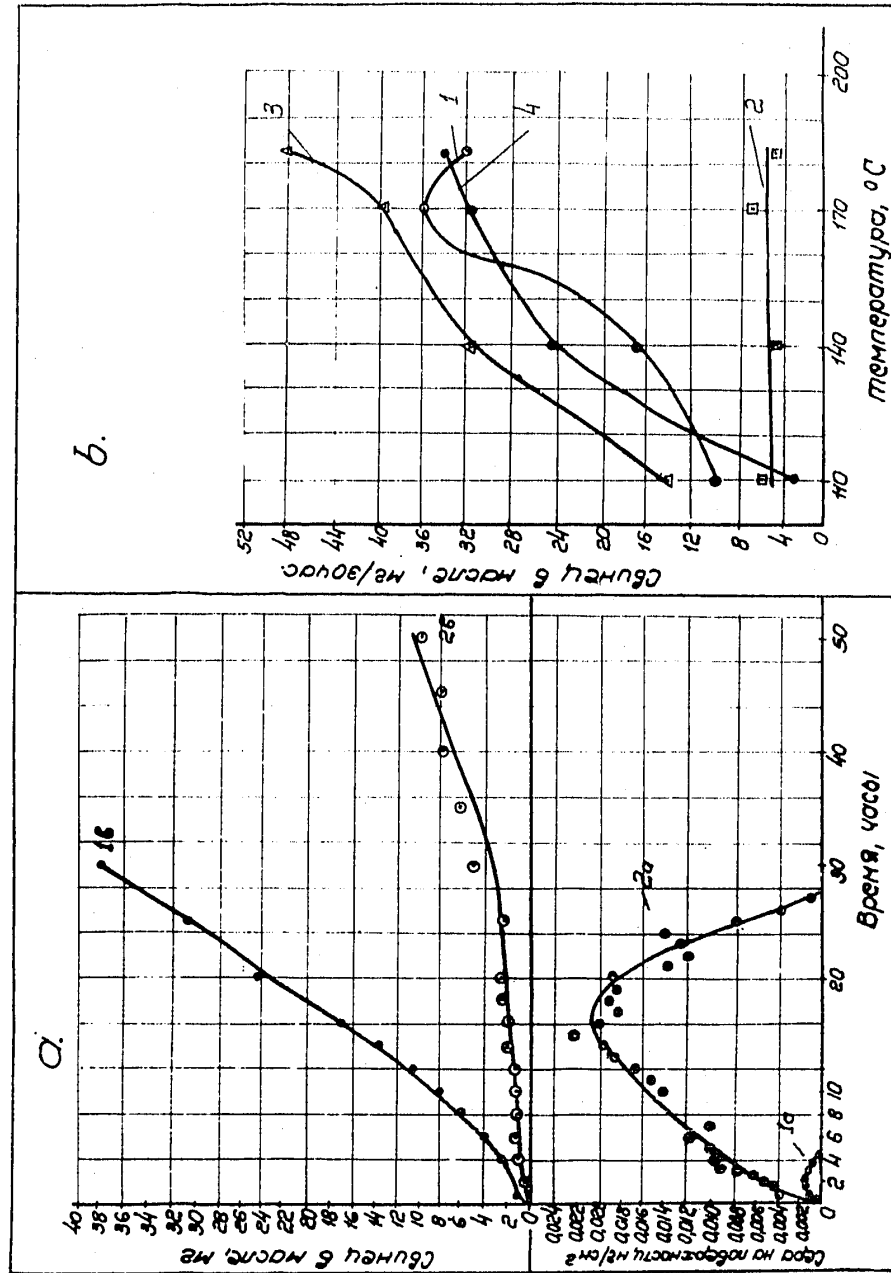


Рис. 2. а—образование защитных пленок на свинце дицилсульфидом и дицилди-
сульфидом, меченные Σ_{35} , и коррозия свинца. 1а—Пленка, образованная
дицилдисульфидом на свинце; 1в — соответствующая коррозия свинца;
2а—пленка, образованная дицилдисульфидом на свинце, 2в — соответствую-
щая коррозия свинца; в — зависимость коррозии свинца от температуры
масла и типа сернистого соединения, введенного в масло. 1—Масло МТ-
-16; 2-го же + 12% дицилдисульфида; 3—то же + 0,6% дицилдисульфи-
да; 4—то же + 0,6% денилмеркаптана

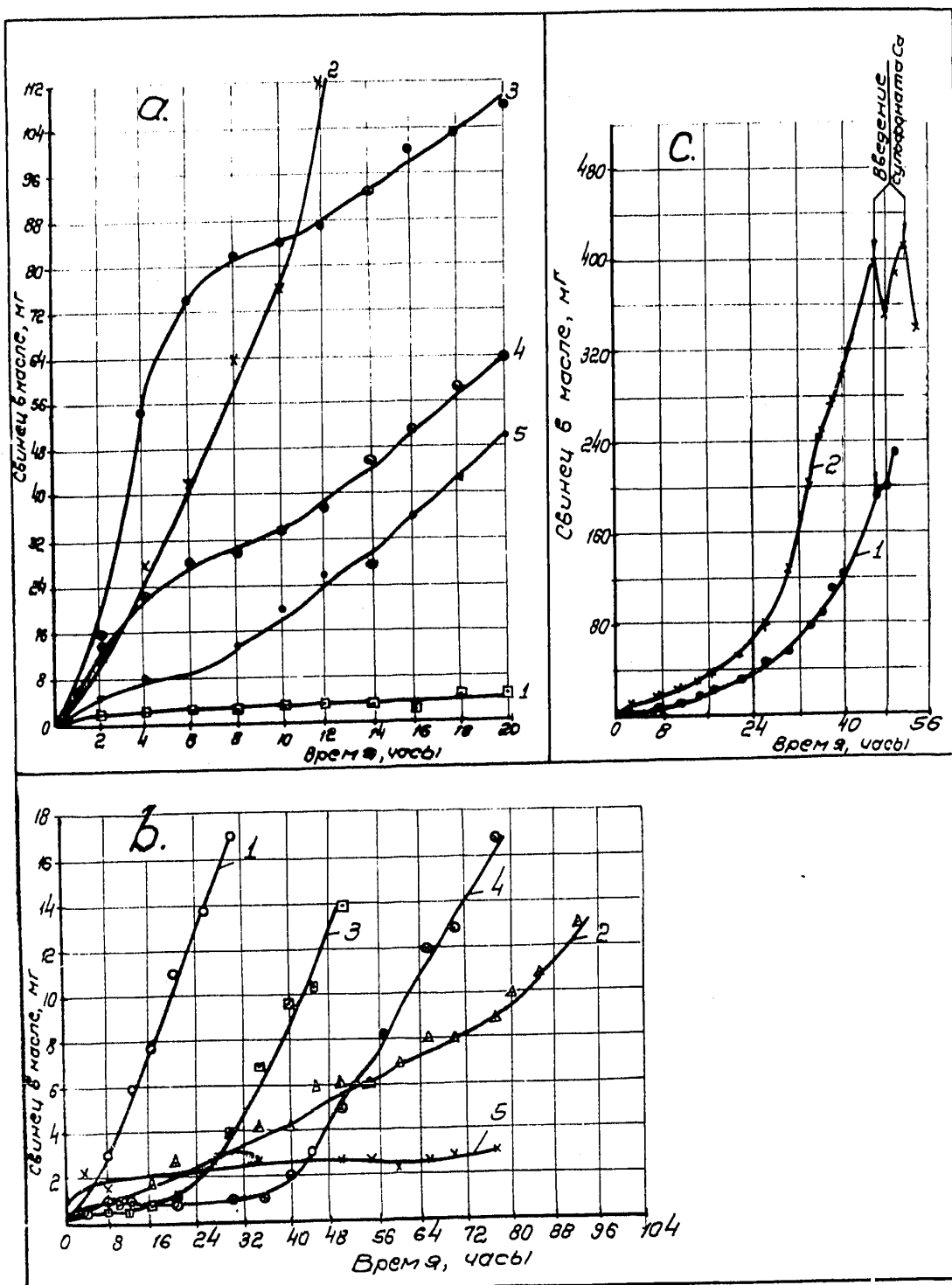


Рис.3. а-влияние катионов нафтенатов на коррозию свинца в масле с присадкой (3% дисульфидалкилфенолята бария): 1-МТ-16 с присадкой; 2- то же + нафтеновые кислоты; 3- то же + нафтенат меди; 4-то же + нафтенат свинца; 5 - то же + нафтенат кобальта; б - влияние сульфоната кальция на коррозию свинца в масле М-16: 1 - масло МТ-16; 2-то же + 3% дисульфидалкилфенолята бария; 3 - то же + 1% сульфоната кальция; 4- то же+ +3% сульфоната кальция; 5 - то же + 12% сульфоната кальция; с - влияние электрического тока на коррозию свинца в масле МТ - 16: 1 - коррозия свинца в масле МТ-16; 2 - то же при включении свинцового образца в цепь электрической батареи

2609-24

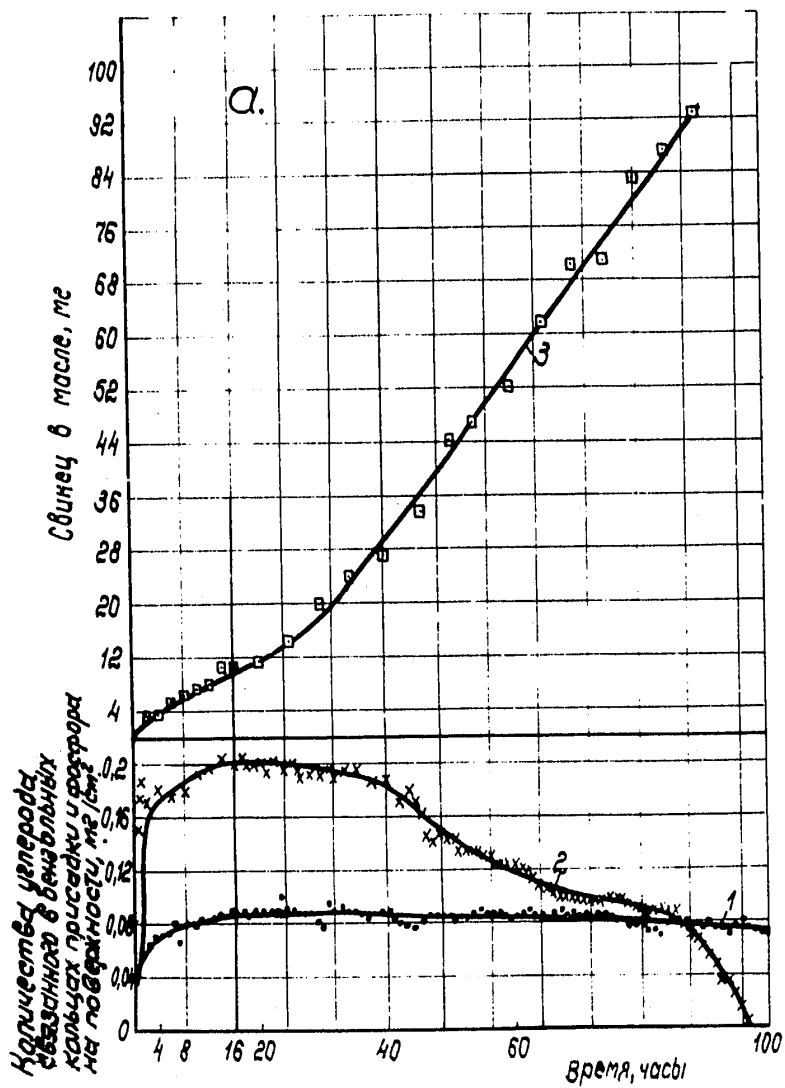


Рис.4а. Образование защитных пленок на свинце трифенилfosфитом, меченым как по Р³², так и по С¹⁴, и коррозия свинца. Масло МТ-16, температура 170°: 1-пленка, зарегистрированная по излучению Р³²; 2-пленка, зарегистрированная по излучению С¹⁴; 3 -коррозия свинца

- 16 -

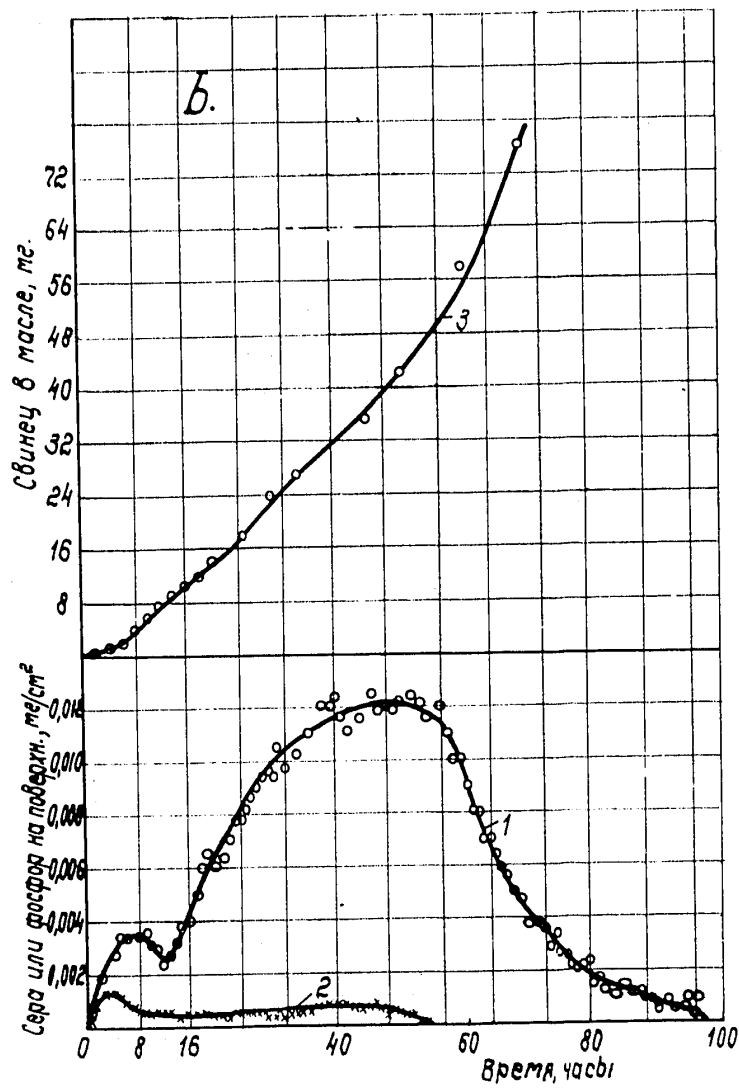


Рис.4б Образование защитных пленок на свинце трибутилтритиоfosфитом, меченный как по S^{35} , так и по P^{32} , и коррозия свинца МТ-16, температура 140°: 1 - пленка, зарегистрированная по изучению S^{35} ; 2 - пленка, зарегистрированная по излучению P^{32} ; 3 - коррозия свинца

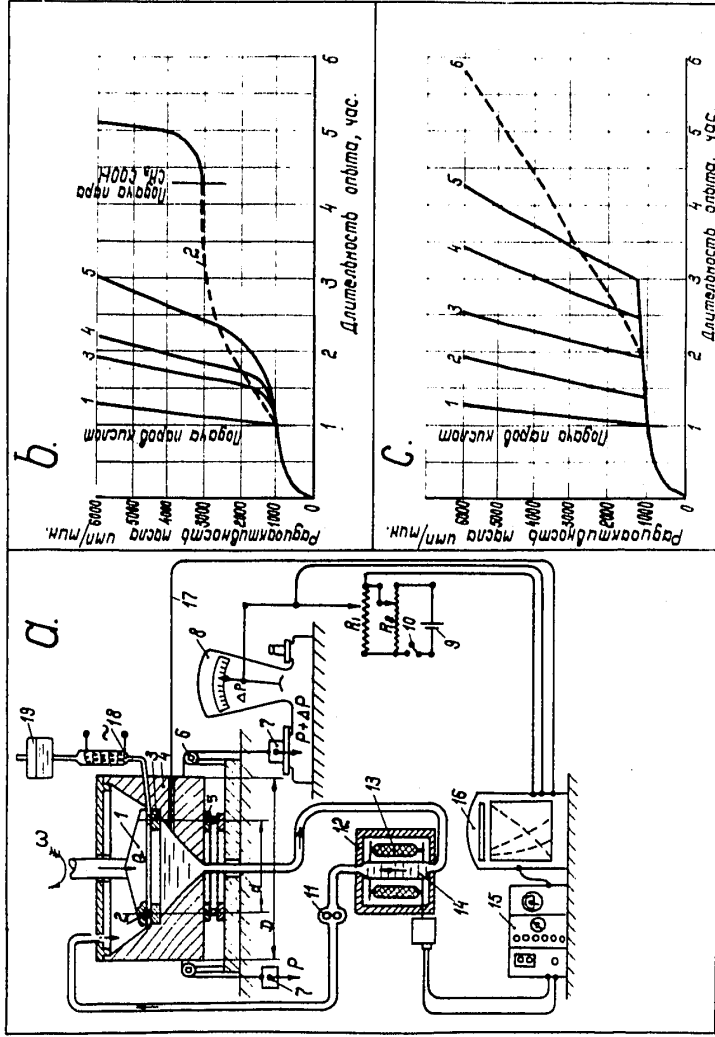


Рис.5. а-схема экспериментальной установки для исследования коррозионного износа: 1 - коромысло; 2 - радиоактивные чугунные сухари; 3- чугунное кольцо; 4-ванны машины трения; 5 - удорный подшипник; 6-блок; 7-грузы; 8 - весы; 9- элемент ЗСЛ-30; 10- выключатель Гейгера; 11 - масляный насос; 12- свинцовая камера; 13-блок из 6 счетчиков Гейгера; 14-мерный резервуар; 15 - радиометрическая установка; 16-электронный потенциометр; 17-термопара; 18 - испаритель; 19 -баллон с раствором кислоты; б - влияние агрессивной среды и высокомолекулярных кислот на коррозионный износ поверхности трения: 1- масло АС-9,5, пары CH_3COOH ; 2- то же, пары H_2SO_4 , а затем пары CH_3COOH ; 3- то же + 0,1% сульфокислот, пары CH_3COOH ; 4- то же + 1% олеиновой кислоты, пары CH_3COOH ; 5- то же + 5% олеиновой кислоты + пары CH_3COOH ; с - влияние концентрации нейтрализующей присадки на эффективность торможения коррозионного износа: 1-масло АС-9,5, пары CH_3COOH ; 2-то же + 1,5% дисульфида магния натрия, пары CH_3COOH ; 3- то же + 3% той же присадки, пары CH_3COOH ; 4- то же + 6% той же присадки, пары CH_3COOH ; 5 - то же + 9% той же присадки, пары CH_3COOH ; 6- то же + 3% той же присадки, пары H_2SO_4 .